

Quand les tenseurs aléatoires rencontrent les matrices aléatoires

Gretsi 2022

MEA. Seddik¹, M. Guillaud¹ & R. Couillet²

<https://melaseddik.github.io/>

¹Mathematical and Algorithmic Sciences Laboratory, Huawei Technologies France

²Université Grenoble Alpes, Inria, CNRS, Grenoble INP, LIG

Nancy, 9 septembre 2022



Introduction

Modèle tensoriel *spike*
asymétrique

Résultats dans la littérature

Approche matrices
aléatoires

Analyse du modèle
spike asymétrique

Valeurs singulières et
vecteurs singuliers de
tenseurs

Matrice aléatoire associée

Norme spectrale et
alignements asymptotique

Algorithmes de
décomposition et
complexité

Introduction

Modèle tensoriel *spike* asymétrique
Résultats dans la littérature
Approche matrices aléatoires

Analyse du modèle *spike* asymétrique

Valeurs singulières et vecteurs singuliers de tenseurs
Matrice aléatoire associée
Norme spectrale et alignements asymptotiques

Algorithmes de décomposition et complexité

Quand les tenseurs aléatoires rencontrent les matrices aléatoires

MEA. Seddik et al.

Introduction

Modèle tensoriel *spike* asymétrique

Résultats dans la littérature

Approche matrices aléatoires

Analyse du modèle *spike* asymétrique

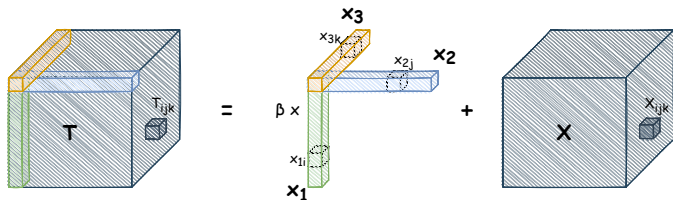
Valeurs singulières et vecteurs singuliers de tenseurs

Matrice aléatoire associée

Norme spectrale et alignements asymptotiques

Algorithmes de décomposition et complexité

Introduction : Modèle tensoriel *spike* asymétrique



Nous considérons le modèle suivant : $(x_1 \otimes x_2 \otimes x_3)_{ijk} = x_{1i}x_{2j}x_{3k}$

$$\mathbf{T} = \underbrace{\beta \mathbf{x}_1 \otimes \cdots \otimes \mathbf{x}_d}_{\text{signal}} + \frac{1}{\sqrt{n}} \underbrace{\mathbf{X}}_{\text{bruit}} \in \mathbb{R}^{n_1 \times \cdots \times n_d}$$

où $\beta \geq 0$, $\|\mathbf{x}_i\| = 1$, $X_{i_1 \dots i_d} \sim \mathcal{N}(0, 1)$ i.i.d. et $n = \sum_{i=1}^d n_i$.

- ▶ Peut-on recouvrir le signal en théorie ? pour quelle valeur **critique** de β ?
- ▶ Quel est l'**alignement** $\langle \mathbf{x}_i, \mathbf{u}_i \rangle$ entre le signal et un estimateur $\mathbf{u}_i(\mathbf{T})$?
- ▶ Existe-t-il un algorithme pour recouvrir le signal en **temps polynomial** ?

Quand les tenseurs aléatoires rencontrent les matrices aléatoires

MEA. Seddik et al.

Introduction

Modèle tensoriel *spike* asymétrique

Résultats dans la littérature

Approche matrices aléatoires

Analyse du modèle *spike* asymétrique

Valeurs singulières et vecteurs singuliers de tenseurs

Matrice aléatoire associée

Norme spectrale et alignements asymptotiques

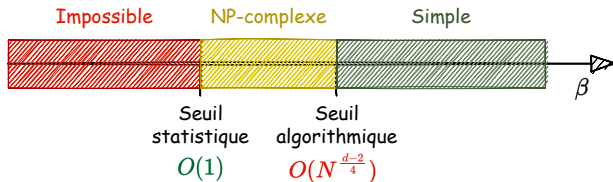
Algorithmes de décomposition et complexité

Résultats dans la littérature : cas symétrique

Initialement introduit par (Montanari & Richard, 2014)

$$\mathbf{Y} = \beta \mathbf{x}^{\otimes d} + \frac{1}{\sqrt{N}} \mathbf{W} \in \mathbb{R}^{N \times \dots \times N}$$

où $\|\mathbf{x}\| = 1$ et \mathbf{W} à entrées aléatoires Gaussiennes et **symétrique**. Ce modèle est une extension naturelle du modèle spike matriciel $\mathbf{Y} = \beta \mathbf{x} \mathbf{x}^T + \frac{1}{\sqrt{N}} \mathbf{W}$.



D'autres travaux dans la littérature : (Montanari et al., 2015), (Hopkins et al., 2020), (Kim et al., 2017), (Ben Arous et al., 2019), (Jagannath et al, 2020), (Perry et al., 2020), (Ros et al., 2020), (Goulart et al., 2021).

Dont Goulart et al. "A random matrix perspective on random tensors", 2021.

Quand les tenseurs aléatoires rencontrent les matrices aléatoires

MEA. Seddik et al.

Introduction

Modèle tensoriel spike asymétrique

Résultats dans la littérature

Approche matrices aléatoires

Analyse du modèle spike asymétrique

Valeurs singulières et vecteurs singuliers de tenseurs

Matrice aléatoire associée

Norme spectrale et alignements asymptotiques

Algorithmes de décomposition et complexité

Approche matrices aléatoires (Goulart et al., 2021)

Problème d'optimisation du maximum de vraisemblance (pour $d = 3$) :

$$\min_{\lambda > 0, \|\mathbf{u}\|=1} \left\| \mathbf{Y} - \lambda \mathbf{u}^{\otimes 3} \right\|_F^2 \Leftrightarrow \max_{\|\mathbf{u}\|=1} \langle \mathbf{Y}, \mathbf{u} \otimes \mathbf{u} \otimes \mathbf{u} \rangle$$

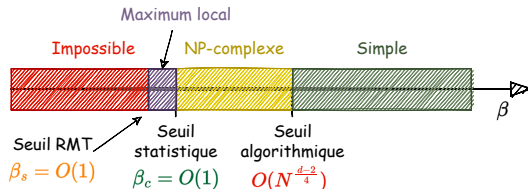
Les points critiques satisfont (Lim, 2005) :

$$\mathbf{Y}(\mathbf{u}, \mathbf{u}) = \lambda \mathbf{u} \Leftrightarrow \mathbf{Y}(\mathbf{u})\mathbf{u} = \lambda \mathbf{u}, \quad \|\mathbf{u}\| = 1$$

où $(\mathbf{Y}(\mathbf{u}, \mathbf{u}))_i = \sum_{jk} u_j u_k Y_{ijk}$ et $(\mathbf{Y}(\mathbf{u}))_{ij} = \sum_k u_k Y_{ijk}$. L'estimateur du MV $\hat{\mathbf{x}}$ est le vecteur propre dominant de $\mathbf{Y}(\hat{\mathbf{x}})$: $\mathbf{Y}(\hat{\mathbf{x}})\hat{\mathbf{x}} = \|\mathbf{Y}\|\hat{\mathbf{x}}$.

Ainsi, l'approche de (Goulart et al., 2021) est d'étudier la matrice suivante :

$$\mathbf{Y}(\mathbf{u}) = \beta \langle \mathbf{x}, \mathbf{u} \rangle \mathbf{x} \mathbf{x}^\top + \frac{1}{\sqrt{N}} \mathbf{W}(\mathbf{u}) \in \mathbb{R}^{N \times N}$$



Quand les tenseurs aléatoires rencontrent les matrices aléatoires

MEA. Seddik et al.

Introduction

Modèle tensoriel spike asymétrique

Résultats dans la littérature

Approche matrices aléatoires

Analyse du modèle spike asymétrique

Valeurs singulières et vecteurs singuliers de tenseurs

Matrice aléatoire associée

Norme spectrale et alignements asymptotiques

Algorithmes de décomposition et complexité

Quand les tenseurs aléatoires rencontrent les matrices aléatoires

MEA. Seddik et al.

Introduction

Modèle tensoriel *spike* asymétrique

Résultats dans la littérature

Approche matrices aléatoires

Analyse du modèle *spike* asymétrique

Valeurs singulières et vecteurs singuliers de tenseurs

Matrice aléatoire associée

Norme spectrale et alignements asymptotiques

Algorithmes de décomposition et complexité

Introduction

Modèle tensoriel *spike* asymétrique

Résultats dans la littérature

Approche matrices aléatoires

Analyse du modèle *spike* asymétrique

Valeurs singulières et vecteurs singuliers de tenseurs

Matrice aléatoire associée

Norme spectrale et alignements asymptotiques

Algorithmes de décomposition et complexité

Valeurs singulières et vecteurs singuliers de tenseurs

Problème d'optimisation du maximum de vraisemblance (pour $d = 3$) :

$$\min_{\lambda > 0, \|\mathbf{u}_i\|=1} \|\mathbf{T} - \lambda \mathbf{u}_1 \otimes \mathbf{u}_2 \otimes \mathbf{u}_3\|_F^2 \Leftrightarrow \prod_{i=1}^3 \max_{\|\mathbf{u}_i\|=1} \langle \mathbf{T}, \mathbf{u}_1 \otimes \mathbf{u}_2 \otimes \mathbf{u}_3 \rangle$$

Les points critiques satisfont (**Lim, 2005**) :

$$\mathbf{T}(\mathbf{I}_{n_1}, \mathbf{u}_2, \mathbf{u}_3) = \lambda \mathbf{u}_1, \quad \mathbf{T}(\mathbf{u}_1, \mathbf{I}_{n_2}, \mathbf{u}_3) = \lambda \mathbf{u}_2, \quad \mathbf{T}(\mathbf{u}_1, \mathbf{u}_2, \mathbf{I}_{n_3}) = \lambda \mathbf{u}_3$$

avec $\|\mathbf{u}_i\| = 1$ pour tout $i \in [3]$ et $(\mathbf{T}(\mathbf{I}_{n_1}, \mathbf{u}_2, \mathbf{u}_3))_i = \sum_{jk} u_{2j} u_{3k} T_{ijk}$.

- ▶ Contrairement au cas symétrique, le choix de la matrice de *contraction* à étudier n'est pas immédiat. Par exemple :

$$\mathbf{T}(\mathbf{u}_3) \equiv \mathbf{T}(\mathbf{I}_{n_1}, \mathbf{I}_{n_2}, \mathbf{u}_3) = \beta \langle \mathbf{x}_3, \mathbf{u}_3 \rangle \mathbf{x}_1 \mathbf{x}_2^\top + \frac{1}{\sqrt{n}} \mathbf{X}(\mathbf{I}_{n_1}, \mathbf{I}_{n_2}, \mathbf{u}_3) \in \mathbb{R}^{n_1 \times n_2}$$

Objectifs :

- ▶ Évaluer les limites asymptotiques de λ^* et $\langle \mathbf{x}_i, \mathbf{u}_i^* \rangle$ associés (à priori) à l'estimateur MV quand les $n_i \rightarrow \infty$.
- ▶ Définir une matrice aléatoire **symétrique** équivalente à \mathbf{T} à étudier.

Quand les tenseurs aléatoires rencontrent les matrices aléatoires

MEA. Seddik et al.

Introduction

Modèle tensoriel spike asymétrique

Résultats dans la littérature

Approche matrices aléatoires

Analyse du modèle spike asymétrique

Valeurs singulières et vecteurs singuliers de tenseurs

Matrice aléatoire associée

Norme spectrale et alignements asymptotiques

Algorithmes de décomposition et complexité

Matrice aléatoire associée à \mathbf{T}

Lemme de Stein : Soit $X \sim \mathcal{N}(0, 1)$, alors $\mathbb{E}[Xf(X)] = \mathbb{E}[f'(X)]$.

Rappelons $\lambda = \mathbf{T}(u_1, u_2, u_3) = \frac{1}{\sqrt{n}} \sum_{ijk} u_{1i} u_{2j} u_{3k} X_{ijk} + \beta \prod_{i=1}^3 \langle x_i, u_i \rangle$.

$$\mathbb{E}[\lambda] = \frac{1}{\sqrt{n}} \sum_{ijk} \mathbb{E} \left[u_{2j} u_{3k} \frac{\partial u_{1i}}{\partial X_{ijk}} \right] + \mathbb{E} \left[u_{1i} u_{3k} \frac{\partial u_{2j}}{\partial X_{ijk}} \right] + \mathbb{E} \left[u_{1i} u_{2j} \frac{\partial u_{3k}}{\partial X_{ijk}} \right] + \dots$$

$$\begin{bmatrix} \frac{\partial u_1}{\partial X_{ijk}} \\ \frac{\partial u_2}{\partial X_{ijk}} \\ \frac{\partial u_3}{\partial X_{ijk}} \end{bmatrix} \simeq -\frac{1}{\sqrt{n}} \left(\underbrace{\begin{bmatrix} \mathbf{0}_{n_1 \times n_1} & \mathbf{T}(u_3) & \mathbf{T}(u_2) \\ \mathbf{T}(u_3)^\top & \mathbf{0}_{n_2 \times n_2} & \mathbf{T}(u_1) \\ \mathbf{T}(u_2)^\top & \mathbf{T}(u_1)^\top & \mathbf{0}_{n_3 \times n_3} \end{bmatrix}}_{\Phi_3(\mathbf{T}, u_1, u_2, u_3)} - \lambda \mathbf{I}_n \right)^{-1} \begin{bmatrix} u_{2j} u_{3k} e_i \\ u_{1i} u_{3k} e_j \\ u_{1i} u_{2j} e_k \end{bmatrix}$$

La matrice résolvante: $R(z) = (\Phi_3(\mathbf{T}, u_1, u_2, u_3) - z\mathbf{I}_n)^{-1}$.

Quand $n_i \rightarrow \infty$, les termes prépondérants dépendent de la **trace** de $R(z)$,

$$\lambda + \frac{1}{n} \text{tr} R(\lambda) = \beta \prod_{i=1}^3 \langle x_i, u_i \rangle$$

Quand les tenseurs aléatoires rencontrent les matrices aléatoires

MEA. Seddik et al.

Introduction

Modèle tensoriel spike asymétrique

Résultats dans la littérature

Approche matrices aléatoires

Analyse du modèle spike asymétrique

Valeurs singulières et vecteurs singuliers de tenseurs

Matrice aléatoire associée

Norme spectrale et alignements asymptotiques

Algorithmes de décomposition et complexité

Mesure spectrale de $\Phi_d(\mathbf{T}, \mathbf{u}_1, \dots, \mathbf{u}_d)$

Transformée de Stieltjes : La transformée de Stieltjes d'une mesure de probabilité ν est $g_\nu(z) = \int \frac{d\nu(\lambda)}{\lambda - z}$, $z \in \mathbb{C} \setminus \mathcal{S}(\nu)$.

Pour $\mathbf{S} \in \text{Sym}_n$ avec λ_i ses valeurs propres, la *mesure spectrale empirique* (MeSE) de \mathbf{S} et la transformée de Stieltjes associée sont :

$$\nu_{\mathbf{S}} = \frac{1}{n} \sum_{i=1}^n \delta_{\lambda_i}, \quad g_{\nu_{\mathbf{S}}}(z) = \frac{1}{n} \sum_{i=1}^n \frac{1}{\lambda_i - z} = \frac{1}{n} \text{tr} \mathbf{R}_{\mathbf{S}}(z), \quad z \in \mathbb{C} \setminus \mathcal{S}(\nu_{\mathbf{S}})$$

où $\mathbf{R}_{\mathbf{S}}(z) = (\mathbf{S} - z\mathbf{I}_n)^{-1}$ est la résolvante de \mathbf{S} .

Théorème 1. Quand $n_i \rightarrow \infty$ avec $\frac{n_i}{\sum_j n_j} \rightarrow c_i \in [0, 1]$, la MeSE de $\Phi_d(\mathbf{T}, \mathbf{u}_1, \dots, \mathbf{u}_d)$ converge vers une **mesure déterministe** ν dont la transformée de Stieltjes est $\frac{1}{n} \text{tr} \mathbf{R}(z) \xrightarrow{\text{p.s.}} g(z) = \sum_{i=1}^d g_i(z)$ vérifiant $\Im[g(z)] > 0$ pour $\Im[z] > 0$, avec

$$\frac{1}{n} \text{tr} \mathbf{R}^{ii}(z) \xrightarrow{\text{p.s.}} g_i(z) = \frac{g(z) + z}{2} - \frac{\sqrt{4c_i + (g(z) + z)^2}}{2}, \quad z \in \mathbb{C} \setminus \mathcal{S}(\nu)$$

Remarque : $(\lambda, \mathbf{u}_1, \dots, \mathbf{u}_d)$ doit satisfaire $\lambda \notin \mathcal{S}(\nu)$ et $|\langle \mathbf{x}_i, \mathbf{u}_i \rangle| > 0$.

Quand les tenseurs aléatoires rencontrent les matrices aléatoires

MEA. Seddik et al.

Introduction

Modèle tensoriel spike asymétrique

Résultats dans la littérature

Approche matrices aléatoires

Analyse du modèle spike asymétrique

Valeurs singulières et vecteurs singuliers de tenseurs

Matrice aléatoire associée

Norme spectrale et alignements asymptotiques

Algorithmes de décomposition et complexité

Mesure spectrale de $\Phi_d(\mathbf{T}, \mathbf{u}_1, \dots, \mathbf{u}_d)$

Corollaire 1. Pour $c_i = \frac{1}{d}$ pour tout $i \in [d]$, la MeSE de $\Phi_d(\mathbf{T}, \mathbf{u}_1, \dots, \mathbf{u}_d)$ converge vers une loi en **demi-cercle** ν de support $\left[-2\sqrt{\frac{d-1}{d}}, 2\sqrt{\frac{d-1}{d}}\right]$, avec

$$\nu(dx) = \frac{d}{2(d-1)\pi} \sqrt{\left(\frac{4(d-1)}{d} - x^2\right)^+}, \quad g(z) = \frac{-zd + d\sqrt{z^2 - \frac{4(d-1)}{d}}}{2(d-1)}$$

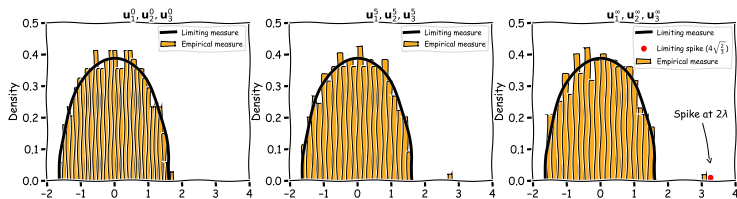


Figure: Spectre de $\Phi_3(\mathbf{T}, \mathbf{u}_1, \mathbf{u}_2, \mathbf{u}_3)$ aux itérations 0, 5, ∞ de l'algorithme d'itération de puissance appliqué sur \mathbf{T} . $n_1 = n_2 = n_3 = 100$ et $\beta = 0$.

$$\mathbf{u}_1 \leftarrow \frac{\mathbf{T}(I_{n_1}, \mathbf{u}_2, \mathbf{u}_3)}{\|\mathbf{T}(I_{n_1}, \mathbf{u}_2, \mathbf{u}_3)\|}, \quad \mathbf{u}_2 \leftarrow \frac{\mathbf{T}(\mathbf{u}_1, I_{n_2}, \mathbf{u}_3)}{\|\mathbf{T}(\mathbf{u}_1, I_{n_2}, \mathbf{u}_3)\|}, \quad \mathbf{u}_3 \leftarrow \frac{\mathbf{T}(\mathbf{u}_1, \mathbf{u}_2, I_{n_3})}{\|\mathbf{T}(\mathbf{u}_1, \mathbf{u}_2, I_{n_3})\|}$$

Quand les tenseurs aléatoires rencontrent les matrices aléatoires

MEA. Seddik et al.

Introduction

Modèle tensoriel spike asymétrique

Résultats dans la littérature

Approche matrices aléatoires

Analyse du modèle spike asymétrique

Valeurs singulières et vecteurs singuliers de tenseurs

Matrice aléatoire associée

Norme spectrale et alignements asymptotiques

Algorithmes de décomposition et complexité

Norme spectrale et alignements asymptotiques

$$\mathbf{T}(\mathbf{x}_1, \mathbf{u}_2, \mathbf{u}_3) = \lambda \langle \mathbf{x}_1, \mathbf{u}_1 \rangle \underbrace{\Rightarrow}_{\text{Stein}}$$

$$[\lambda + g_2(\lambda) + g_3(\lambda)] \langle \mathbf{x}_1, \mathbf{u}_1 \rangle = \beta \prod_{i=2}^3 \langle \mathbf{x}_i, \mathbf{u}_i \rangle$$

Théorème 2. Pour tout $d \geq 3$, lorsque $n_i \rightarrow \infty$ avec $\sum_j^{n_i} n_j \rightarrow c_i \in (0, 1]$, il existe $\beta_s > 0$ tel que pour tout $\beta > \beta_s$

$$\lambda^* \xrightarrow{\text{P.S.}} \lambda^\infty, \quad |\langle \mathbf{x}_i, \mathbf{u}_i^* \rangle| \xrightarrow{\text{P.S.}} q_i(\lambda^\infty, \beta) = \sqrt{1 - \frac{g_i^2(\lambda^\infty)}{c_i}}$$

où λ^∞ satisfait $f(\lambda^\infty, \beta) = 0$ avec $f(z, \beta) = z + g(z) - \beta \prod_{i=1}^d q_i(z, \beta)$, et

$$q_i(z, \beta) = \left(\frac{\alpha_i(z, \beta)^{d-3}}{\prod_{j \neq i} \alpha_j(z, \beta)} \right)^{\frac{1}{2d-4}}, \quad \alpha_i(z, \beta) = \frac{\beta}{z + g(z) - g_i(z)}$$

pour $\beta \in [0, \beta_s]$, λ^∞ est bornée et $|\langle \mathbf{x}_i, \mathbf{u}_i^* \rangle| \xrightarrow{\text{P.S.}} 0$.

Quand les tenseurs aléatoires rencontrent les matrices aléatoires

MEA. Seddik et al.

Introduction

Modèle tensoriel spike asymétrique

Résultats dans la littérature

Approche matrices aléatoires

Analyse du modèle spike asymétrique

Valeurs singulières et vecteurs singuliers de tenseurs

Matrice aléatoire associée

Norme spectrale et alignements asymptotiques

Algorithmes de décomposition et complexité

Norme spectrale et alignements asymptotiques

Quand les tenseurs aléatoires rencontrent les matrices aléatoires

MEA. Seddik et al.

Introduction

Modèle tensoriel spike asymétrique

Résultats dans la littérature

Approche matrices aléatoires

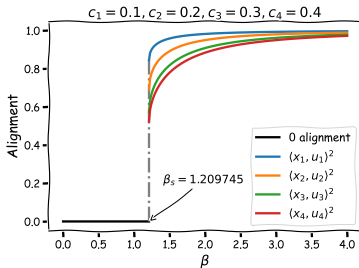
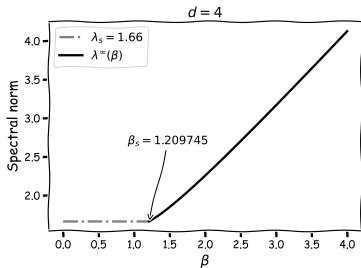
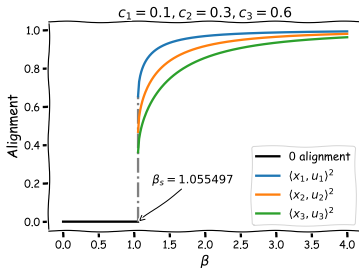
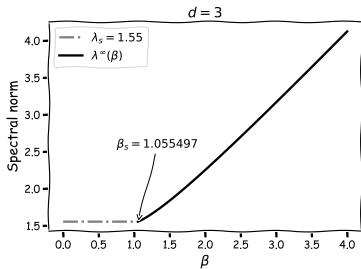
Analyse du modèle spike asymétrique

Valeurs singulières et vecteurs singuliers de tenseurs

Matrice aléatoire associée

Norme spectrale et alignements asymptotiques

Algorithmes de décomposition et complexité



Tenseurs cubiques

Quand les tenseurs aléatoires rencontrent les matrices aléatoires

MEA. Seddik et al.

Introduction

Modèle tensoriel spike asymétrique

Résultats dans la littérature

Approche matrices aléatoires

Analyse du modèle spike asymétrique

Valeurs singulières et vecteurs singuliers de tenseurs

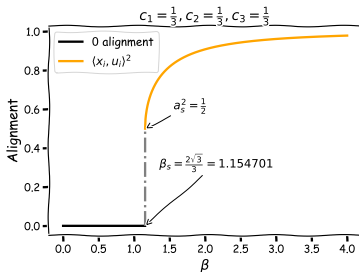
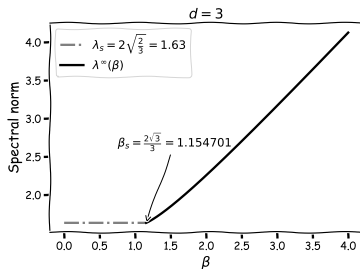
Matrice aléatoire associée

Norme spectrale et alignements asymptotiques

Algorithmes de décomposition et complexité

Corollaire 2. Si $d = 3$ avec $c_i = \frac{1}{3}$, alors pour tout $\beta > \frac{2\sqrt{3}}{3}$

$$\left\{ \begin{array}{l} \lambda^* \xrightarrow{\text{p.s.}} \sqrt{\frac{\beta^2}{2} + 2 + \frac{\sqrt{3}\sqrt{(3\beta^2-4)^3}}{18\beta}} \\ |\langle \mathbf{x}_i, \mathbf{u}_i^* \rangle| \xrightarrow{\text{p.s.}} \frac{\sqrt{9\beta^2-12 + \frac{\sqrt{3}\sqrt{(3\beta^2-4)^3}}{\beta}} + \sqrt{9\beta^2+36 + \frac{\sqrt{3}\sqrt{(3\beta^2-4)^3}}{\beta}}}{6\sqrt{2}\beta} \end{array} \right.$$



Modèle spike matriciel

Quand les tenseurs aléatoires rencontrent les matrices aléatoires

MEA. Seddik et al.

Introduction

Modèle tensoriel spike asymétrique

Résultats dans la littérature

Approche matrices aléatoires

Analyse du modèle spike asymétrique

Valeurs singulières et vecteurs singuliers de tenseurs

Matrice aléatoire associée

Norme spectrale et alignements asymptotiques

Algorithmes de décomposition et complexité

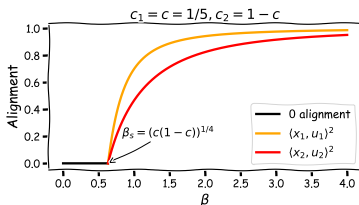
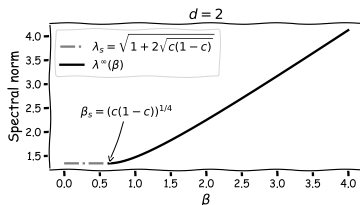
$$\text{Pour } d = 3, n_3 = 1 \Rightarrow \mathbf{M} = \beta \mathbf{x}\mathbf{y}^\top + \frac{1}{\sqrt{n_1 + n_2}} \mathbf{X} \in \mathbb{R}^{n_1 \times n_2}$$

Corollaire 3. Si $d = 3$ avec $c_1 = c$ et $c_2 = 1 - c$ pour $c \in [0, 1]$, le modèle spike tensoriel devient un **modèle spike matriciel** (i.e. $c_3 = 0$).

$$\text{Soit } \kappa(\beta, c) = \beta \sqrt{\frac{\beta^2(\beta^2+1) - c(c-1)}{(\beta^4 + c(c-1))(\beta^2+1-c)}}, \text{ pour } \beta > \beta_s = \sqrt[4]{c(1-c)}$$

$$\lambda^* \xrightarrow{\text{p.s.}} \sqrt{\beta^2 + 1 + \frac{c(1-c)}{\beta^2}}, \quad |\langle \mathbf{x}_i, \mathbf{u}_i^* \rangle| \xrightarrow{\text{p.s.}} \frac{1}{\kappa(\beta, c_i)}, \quad i \in \{1, 2\}$$

tandis que pour $\beta \in [0, \beta_s]$, $\lambda^* \xrightarrow{\text{p.s.}} \sqrt{1 + 2\sqrt{c(1-c)}}$ et $|\langle \mathbf{x}_i, \mathbf{u}_i^* \rangle| \xrightarrow{\text{p.s.}} 0$.



Quand les tenseurs aléatoires rencontrent les matrices aléatoires

MEA. Seddik et al.

Introduction

Modèle tensoriel *spike* asymétrique

Résultats dans la littérature

Approche matrices aléatoires

Analyse du modèle *spike* asymétrique

Valeurs singulières et vecteurs singuliers de tenseurs

Matrice aléatoire associée

Norme spectrale et alignements asymptotiques

Algorithmes de décomposition et complexité

Introduction

Modèle tensoriel *spike* asymétrique

Résultats dans la littérature

Approche matrices aléatoires

Analyse du modèle *spike* asymétrique

Valeurs singulières et vecteurs singuliers de tenseurs

Matrice aléatoire associée

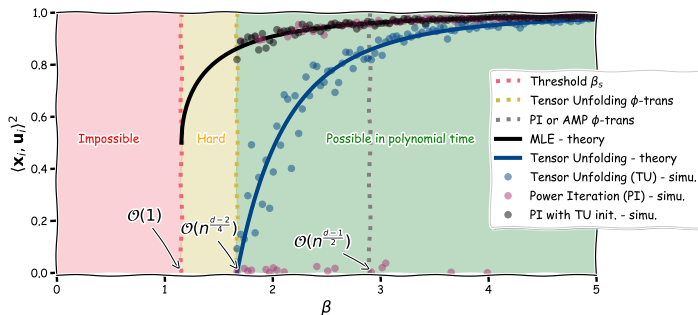
Norme spectrale et alignements asymptotiques

Algorithmes de décomposition et complexité

Algorithmes de décomposition et complexité

$$\min_{\lambda > 0, \|\mathbf{u}_i\|=1} \|\mathbf{T} - \lambda \mathbf{u}_1 \otimes \cdots \otimes \mathbf{u}_d\|_F^2 \Rightarrow \text{NP-complexe (Hillar et al., 2013)}$$

- ▶ Dépliage tensoriel : $\mathcal{M}_i(\mathbf{T}) = \beta \mathbf{x}_i \mathbf{y}_i^\top + \frac{1}{\sqrt{n}} \mathcal{M}_i(\mathbf{X}) \in \mathbb{R}^{n_i \times \prod_{j \neq i} n_j}$.
- ▶ A l'aide du Corollaire 3, on trouve $\beta_a = (\prod_i n_i)^{1/4} / \sqrt{\sum_i n_i}$.
- ▶ Coïncide avec $O\left(N^{\frac{d-2}{4}}\right)$ de (Ben Arous et al, 2021) pour $n_i = N$.
- ▶ Même seuil pour l'algorithme d'itération de puissance initialisé avec le dépliage tensoriel (Auddy et al., 2021).



Quand les tenseurs aléatoires rencontrent les matrices aléatoires

MEA. Seddik et al.

Introduction

Modèle tensoriel spike asymétrique

Résultats dans la littérature

Approche matrices aléatoires

Analyse du modèle spike asymétrique

Valeurs singulières et vecteurs singuliers de tenseurs

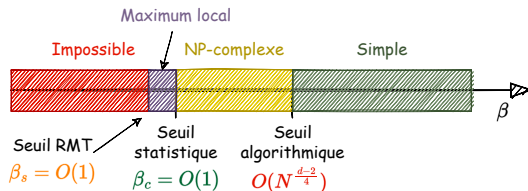
Matrice aléatoire associée

Norme spectrale et alignements asymptotiques

Algorithmes de décomposition et complexité

Messages à emporter

- ▶ L'approche RMT permet d'étudier le comportement des modèles tensoriels *asymétriques*.
- ▶ Les résultats obtenus caractérisent les performances de l'estimateur de MV pour β assez grand (i.e., $\beta \geq \beta_c$).



Questions ouvertes :

- ▶ Encore peu clair comment caractériser **la transition de phase** de l'estimateur de MV avec l'approche RMT.
- ▶ Peut-on trouver un **algorithme de complexité polynomiale** qui est consistant en dessous de β_a ?
- ▶ Questions **d'universalité** et de généralisation à des **rangs supérieurs** à explorer.

Merci pour votre attention!

<https://arxiv.org/abs/2112.12348>

Quand les tenseurs aléatoires rencontrent les matrices aléatoires

MEA. Seddik et al.

Introduction

Modèle tensoriel spike asymétrique

Résultats dans la littérature

Approche matrices aléatoires

Analyse du modèle spike asymétrique

Valeurs singulières et vecteurs singuliers de tenseurs

Matrice aléatoire associée

Norme spectrale et alignements asymptotiques

Algorithmes de décomposition et complexité

Références

- Andrea Montanari and Emile Richard. “A statistical model for tensor PCA”. In: *arXiv preprint arXiv:1411.1076* (2014)
- Aukosh Jagannath, Patrick Lopatto, and Leo Miolane. “Statistical thresholds for tensor PCA”. In: *The Annals of Applied Probability* 30.4 (2020), pp. 1910–1933
- Amelia Perry, Alexander S. Wein, and Afonso S. Bandeira. “Statistical limits of spiked tensor models”. In: *Annales de l’Institut Henri Poincaré, Probabilités et Statistiques*. Vol. 56. 1. Institut Henri Poincaré. 2020, pp. 230–264
- José Henrique Goulart, Romain Couillet, and Pierre Comon. “A Random Matrix Perspective on Random Tensors”. In: *stat 1050* (2021), p. 2
- Lek-Heng Lim. “Singular values and eigenvalues of tensors: a variational approach”. In: *Proc. IEEE International Workshop on Computational Advances in Multi-Sensor Adaptive Processing*. 2005, pp. 129–132
- Christopher J Hillar and Lek-Heng Lim. “Most tensor problems are NP-hard”. In: *Journal of the ACM (JACM)* 60.6 (2013), pp. 1–39
- Gérard Ben Arous, Daniel Zhengyu Huang, and Jiaoyang Huang. “Long Random Matrices and Tensor Unfolding”. In: *arXiv preprint arXiv:2110.10210* (2021)
- Arnab Auddy and Ming Yuan. “On Estimating Rank-One Spiked Tensors in the Presence of Heavy Tailed Errors”. In: *arXiv preprint arXiv:2107.09660* (2021)
- Mohamed El Amine Seddik, Maxime Guillaud, and Romain Couillet. “When Random Tensors meet Random Matrices”. In: *arXiv preprint arXiv:2112.12348* (2021)

Quand les tenseurs aléatoires rencontrent les matrices aléatoires

MEA. Seddik et al.

Introduction

Modèle tensoriel spike asymétrique

Résultats dans la littérature

Approche matrices aléatoires

Analyse du modèle spike asymétrique

Valeurs singulières et vecteurs singuliers de tenseurs

Matrice aléatoire associée

Norme spectrale et alignements asymptotiques

Algorithmes de décomposition et complexité